

■-16 砂、粘土、混合土の試験 (オニ報)
中大理工学部 正員 萩木龍雄

1. まえがき

砂、粘土の混合土が砂の混入割合に対して力学的にどのように変化するかについて実験的研究を試みており、昨年の土木学会年次講演会においては、 P （砂の混入率）と $L.L.$ 、 $P.L.$ の関係及び JISA 1210 実き固め試験により P と W_{opt} 、 P と γ_u の関係を求め、また三軸圧縮試験を行なって、 $P = 0$ ～40%附近までは粘土領域で $P = 40$ ～80%附近までを中間領域、 $P = 80\%$ 以上は砂質領域と若しられた等について報告したが、今回も予備的段階は出ないが、混合土に対して行なった一軸圧縮試験及び一面剪断試験の結果について報告する。

2. 実験

純粹カオリーン粘土 ($L.L. = 49.12\%$, $P.L. = 38.65\%$, $G_s = 2.65$) は図-1 に示すよろな粒度分布の相模川砂の混入率 ($P = 0, 10, 20, 30, 40, 50, 60, 70, 80, 90\%$) を変え、各混合割合において、JISA 1210 の規定にしたがつて実き固め試験を行ひ (図-2) 最適含水比附近で実き固めた供試体について、一軸圧縮試験及び一面剪断試験機による急速剪断試験を行なつた。

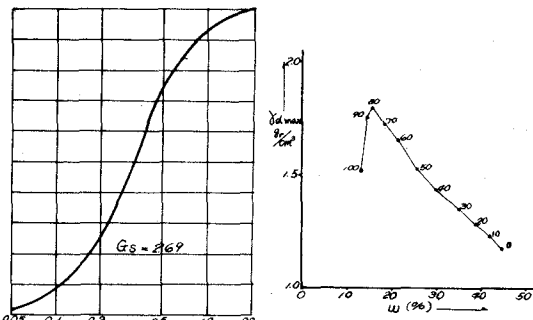


図-1 砂の粒度分布

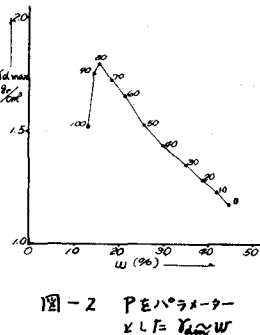


図-2 P をパラメータとした W

3. 実験結果及び考察

a. 一軸圧縮試験について

試験機体は歪制御式で歪度は $1\%/\text{min}$ とした。図-3 は P と γ_u 及び γ_u を求めるために使用した供試体の c (間隙比), S_r (飽和度) の平均値を示す。 γ_u の値は $P = 60\%$ まで増加の傾向を示し 60% 以上では減少している、たゞ $P = 30, 40, 50\%$ で低く出ているが、 $P \sim S_r$ 関係からみられるように供試体の実き固めの含水比調整が不正確であったために所定の強度が取らなかったものと若しられる。この実験に使用した供試体は P の割合に対する c の減少も、また γ_u の増加も比較的直線的であるにもかかわらず γ_u の値は $P = 60\%$ 以上では低下しており、砂、粘土混合土の γ_u は $P = 60\%$ 以上では γ_u の増加と比例しないようと思われる。

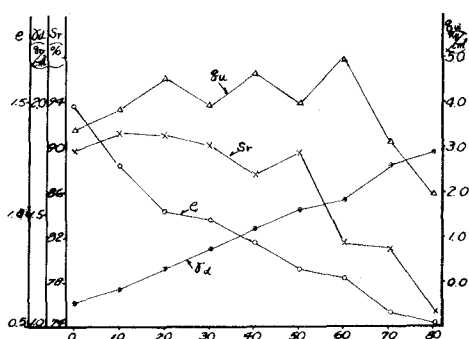


図-3 $P \sim \gamma_u, S_r, c$

b. 一面剪断試験機による急速剪断について

試験機は下部可動型歪制御式で歪度は $1\%/\text{min}$ とした。図-4 は剪断時の垂直応力 ($\sigma =$

$0.36, 0.71, 1.06, 1.41 \text{ kg/cm}^2$ をパラメーターとしたて（最大剪断应力）と P との関係を示す。この実験は使用した供試体も図-3に示した一軸圧縮試験に使用した供試体と同時に作成したもので、 γ_a, C, S_r とも大差ない。この実験においても $P = 0 \sim 60\%$ 附近まででは増加し、 $60\%以上$ では減少する傾向を示しており強いて云うならば $P = 0$ から 40% まで一定の勾配で増加し 40% から 60% まで大差なく $60\%以上$ で減少している。昨年の報告によると三領域が見られるが其の変り目は判然としてない。図-5は一面剪断試験から求めた P に対する C （粘着力）中（内部摩擦角）であるが供試体製作時の含水比の調整及び災害の不均一性などを考慮すると、 C は $P = 0$ から 60% までは大差なく 60% を越すと急激に減少しており、また中は P の増加に伴なつて漸次増大し最後に砂の中に達するようである。

C. a, b の総まとめ

図-6は P に対する $\frac{1}{2}B_m$ 及び一面剪断試験結果から求めた C , 中を用いて $B_m = 2C \tan(\phi + \frac{\pi}{4})$ に代入した値を比較したものである。 $\frac{1}{2}B_m$ の値よりも当然大きくなるべきものである（不飽和土であるから）と多少のずれはあるが比較的よく一致が見られる。

また b に述べたように C が $P = 0$ から 60% まで余り変わらず $60\%以上$ で減少し、中は $P = 0$ から 90% まで一定

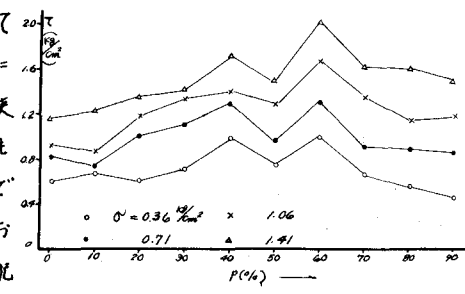


図-4 $P \sim \tau$

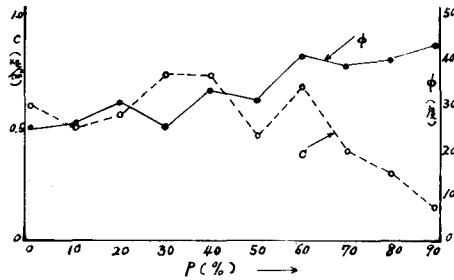


図-5 $P \sim C, \phi$

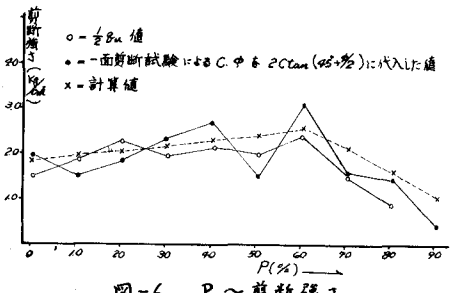


図-6 $P \sim \text{剪断強度}$

の割合で増加すると考えると一面剪断試験結果から P に対する C , 中を求めれば P の増加に対する中の増加係数 $\tan\beta$ (β は砂の粒度分布, 形状, 乾燥密度, 含水比などによってよる) 及び $P = 0$ から 60% までの C 及び $60\%以上$ の C の減少係数 $\tan\beta$ (β は粘土の種類, 含水比, 乾燥密度などによる) が得られ、各々の P に対する剪断強度が計算出来る。この実験においては $\tan\beta = 0.044$, $\tan\beta = 0.013$ でありこれらを用いて計算したものを図-6の計算として示した。また一軸圧縮試験体として粘性土を用いられる試験法であるが、図-3, 図-4 の $\frac{1}{2}B_m$ と比較して見ると $P = 60\% と 70\%$ の間にかけた兩者の減少率はてて 11% , $80\% と 38\%$ を示し $\frac{1}{2}B_m$ の減少率が極めて大である。同様な傾向が現在行なつてある動的一軸圧縮試験結果にも見られる、これらの事から一軸圧縮試験は砂分が $70\%以上$ となると試験は可能であつても妥当な結果をえらねりようと思はれた。以上は極めて予備的な実験結果であり、今後は更に実験数を倍加して上記の事を確めると共に、一連の緒の固めエネルギーのもので、砂の混合割合を高める事と、含水比を調整する事がどのよう影響するかを調べたい。最後ではあるがこの研究に対し常に御指導を賜りて下さった大山口柏樹教授に深甚の謝意を表します。